



Модель Обижаевой–Ванга

Всеволод Заостровский^{*1}

¹Московский Государственный университет имени М. В. Ломоносова

1 февраля 2024 г.

Аннотация

В нашем исследовании мы предлагаем новую методику оценки параметров в модели Обижаевой–Ванга. Кроме того, мы тестируем её на реальных данных и исследуем особенности торговли Московской биржи.

Ключевые слова: Модель Обижаевой–Ванга, оптимальное исполнение, market impact, resiliency

JEL коды: C81 · G1

MSC (2000) коды: 91G23

Введение

Модель Обижаевой–Ванга - это модель торговли на финансовом рынке, которая широко используется в количественных финансах. Разработанная Анной Обижаевой и Цзян Вангом в 2013 году, модель используется для анализа динамики финансовых рынков и принятия торговых решений. Модель привлекла значительное внимание в финансовой индустрии благодаря своему вниманию к свойству упругости (resiliency) стакана, описывающему важный эмпирический факт: спрос/ предложение финансовых ценных бумаг, как правило, не является идеально эластичным. Упругость — скорость, с которой спрос/предложение восстанавливается до устойчивого состояния после совершения сделки — характеризует начало нового этапа в разработке моделей оптимального исполнения. В нашем исследовании мы разрабатываем практический способ использования этой теории.

Этот факт справедлив даже для ликвидных европейских рынков, если же мы говорим о гораздо менее ликвидных российских рынках, пренебрежение им может привести к катастрофическим последствиям. Основное отличие модели Обижаевой–Ванга от других как раз в том, что в ней ключевую роль играет устойчивость.

Мы исследуем задачу оптимального исполнения. Иными словами, если кто-то хочет продать или купить определенное количество актива достаточно большое, чтобы оказать существенное влияние на рынок, что он должен делать? Чтобы сформулировать задачу на языке математики, нам нужно будет изучить основные принципы биржевой структуры.

1 Основные понятия

Определим несколько понятий, которые понадобятся нам в дальнейшем.

^{*}e-mail: vsevolodzaostrovsky@mail.ru



Рис. 1: Графическое представление лимитной книги заявок

Определение 1. *Бид (bid) — это самая высокая цена, которую покупатель готов заплатить за актив. Далее, бид в момент времени t будет обозначаться B_t . Аск (ask) — это самая низкая цена, за которую продавец готов предоставить актив. Далее, аск в момент времени t будет обозначаться A_t . Бид-аск спрэд (bid-ask spread) s : $s = A_t - B_t$. Мид (mid-quote price): $V_t = \frac{A_t + B_t}{2}$.*

Начнем с рассмотрения структуры лимитной книги заявок (Limit Order Book – LOB). В рамках этой парадигмы организации биржевых торгов, у каждого участника есть две возможности:

- выразить желание купить или продать определённое количество единиц актива по определенной цене. В этом случае, биржа запомнит пару цена–количество. Множество этих пар составляет лимитную книгу заявок. На рисунке 1 изображено традиционное представление лимитной книги заявок.
- выразить желание купить или продать определённое количество единиц актива немедленно. В этом случае он немедленно получит запрошенное количество акций (если на бирже есть необходимое количество) по лучшей возможной цене: к примеру, в случае покупки, если на верхнем ценовом уровне не будет достаточного количества единиц актива для удовлетворения заявки, то будут взяты активы из следующего ценового уровня. Таким образом, не гарантируется, что итоговая цена одной единицы актива будет совпадать с аском.

Таким образом, если опустить некоторые подробности, существует два вида заявок:

Определение 2. *Лимитная заявка (ордер) (limit order) представляет собой распоряжение на покупку или продажу ценной бумаги по определенной цене или выше. Этот тип заявки гарантирует цену исполнения, но не гарантирует само исполнение.*

Определение 3. Рыночная заявка (ордер) (market order) представляет собой распоряжение на немедленную покупку или продажу ценной бумаги. Этот тип заявки гарантирует, что она будет исполнена, но не гарантирует цену исполнения.

Теперь ясно, что если мы хотим продать или купить актив в количестве, достаточно большом, чтобы он мог оказать существенное влияние на рынок, мы не должны делать это одной заявкой: это было бы очень дорого, поскольку крупный ордер удалил бы все верхние уровни в лимитной книге заявок. Поэтому на практике все крупные заявки разбиваются на большое количество мелких. Например, можно просто разделить ордер на N равных частей и продавать их через равные промежутки времени (это называется TWAP). Но есть ли лучшее решение?

2 Подход Обижаевой и Ванга к формализации проблемы

В попытке найти лучшее решение, мы рассматриваем модель Обижаевой–Ванга, в терминах которой задача имеет следующий вид:

$$J_0 = \min_{\{x_0 \dots x_N\}} E_0 \left[\sum_{n=0}^N [A_{t_n} + x_n / (2q)] x_n \right],$$

$$A_{t_n} = F_{t_n} + \lambda(X_0 - X_{t_n}) + s/2 + \sum_{i=0}^{n-1} x_i \kappa e^{-\rho \tau(n-i)},$$

где

- трейдер должен купить X_0 единиц актива за фиксированный период времени $[0, T]$;
- x_{t_n} размер ордера в момент времени $t_n = \tau n$ (здесь, $\tau = T/N$);
- $X_{t_n} := X_0 - \sum_{t_k < t_n} x_{t_k}$;
- B_{t_n} и A_{t_n} — бид и аск в момент времени t_n ;
- $V_{t_n} = \frac{A_{t_n} + B_{t_n}}{2}$ — мид;
- s — бид-аск спрэд;
- F_t — фундаментальная (справедливая) цена актива;
- $q(P)$ распределение лимитной книги заявок P (по ценам $[a, b]$ доступно $\int_a^b q(p) dP$ единиц актива);
- параметр λ — постоянный маркет импакт (справдливая цена V_t в результате исполнения ордера объема x меняется по закону: $V_{t+} = V_t + \lambda x$);
- $\kappa = \frac{1}{q} - \lambda$;
- параметр ρ — упругость стакана (resiliency).

Данная задача была решена в статье [OW13]:

Теорема 1. Решение проблемы оптимального исполнения:

$$x_n = -\frac{1}{2} \delta_{n+1} [D_{t_n} (1 - \beta_{n+1} e^{-\rho \tau} + 2\kappa \gamma_{n+1} e^{-2\rho \tau}) - X_{t_n} (\lambda + 2\alpha_{n+1} - \beta_{n+1} \kappa e^{-\rho \tau})],$$

где $x_N = X_N$ и $D_t = A_t - V_t - s/2$. Ожидаемая цена будущих сделок в рамках стратегии оптимального исполнения меняется по закону

$$J_{t_n} = (F_{t_n} + s/2) X_{t_n} + \lambda X_0 X_{t_n} + \alpha_n X_{t_n}^2 + \beta_n D_{t_n} X_{t_n} + \gamma_n D_{t_n}^2,$$

где коэффициенты α_{n+1} , β_{n+1} , γ_{n+1} и δ_{n+1} определяются рекурсивно по формулам:

$$\alpha_n = \alpha_{n+1} - \frac{1}{4}\delta_{n+1}(\lambda + 2\alpha_{n+1} - \beta_{n+1}\kappa e^{-\rho\tau})^2,$$

$$\beta_n = \beta_{n+1}e^{-\rho\tau} + \frac{1}{2}\delta_{n+1}(1 - \beta_{n+1}e^{-\rho\tau} + 2\kappa\gamma_{n+1}e^{-2\rho\tau})(\lambda + 2\alpha_{n+1} - \beta_{n+1}\kappa e^{-\rho\tau}),$$

$$\gamma_n = \gamma_{n+1}e^{-2\rho\tau} - \frac{1}{4}\delta_{n+1}(1 - \beta_{n+1}e^{-\rho\tau} + 2\kappa\gamma_{n+1}e^{-2\rho\tau})^2,$$

где $\delta_{n+1} = [1/(2q) + \alpha_{n+1} - \beta_{n+1}\kappa e^{-\rho\tau} + \gamma_{n+1}\kappa^2 e^{-2\rho\tau}]^{-1}$ и начальные условия

$$\alpha_N = 1/(2q) - \lambda, \quad \beta_N = 1, \quad \gamma_N = 0.$$

В нашем исследовании мы будем рассматривать предел этого решения.

Теорема 2. При $N \rightarrow \infty$, стратегия оптимального исполнения принимает вид:

$$\begin{aligned} \lim_{N \rightarrow \infty} x_0 = x_{t=0} &= \frac{X_0}{\rho T + 2}, \\ \lim_{N \rightarrow \infty} x_n/(T/N) &= \dot{X}_t = \frac{\rho X_0}{\rho T + 2}, \quad t \in (0, T), \\ \lim_{N \rightarrow \infty} x_0 = x_{t=0} &= \lim_{N \rightarrow \infty} x_n/(T/N) = x_{t=T} = \frac{X_0}{\rho T + 2}. \end{aligned}$$

где x_0 первая сделка за отведенный период, x_N — последняя, и \dot{X}_t скорость трейдинга между ними.

Таким образом, мы имеем явную формулу для стратегии оптимального исполнения. Но нам необходимо каким-либо образом найти параметр ρ для того, чтобы применить её на практике.

Другое возможное приложение параметра ρ даёт формула, определяющая динамику аска после исполнения ордера глубины x :

$$A_t = \bar{p}_t + \frac{s}{2} + x\kappa e^{-\rho t}.$$

Поскольку, к примеру, на московской бирже, минимальный шаг цены составляет, в основном, около 0.05% от спотовой цены (см. 2), согласно модели стакан будет полностью восстанавливаться после исполнения "большого" ордера (для которого $x\kappa \approx 0.01 * A_t$) примерно за $t = \frac{10}{\rho}$.

3 Как подобрать ρ ?

Предлагаемая нами методология основана на следующей теореме.

Теорема 3. Для упрощения записей введём обозначения:

$$\Delta t_k := t_k - t_{k-1}, \quad \Delta A_k := A_k - A_{k-1}.$$

В регрессии

$$\frac{\Delta A_{k+1}}{\Delta t_{k+1}} - \frac{\Delta A_k}{\Delta t_k} = -B\Delta A_k + B(\lambda + \kappa)x_{t_k} - B\kappa x_{t_{k+1}} + (\lambda + \kappa)\left(\frac{x_{t_{k+1}}}{\Delta t_{k+1}} - \frac{x_{t_k}}{\Delta t_k}\right),$$

где x_{t_k} и A_{t_k} — глубина ордера и аск в момент времени t_k , соответственно, $\rho = B + O(\rho^2 \Delta t)$.

		Диапазоны ликвидности (среднедневное число сделок)						
Диапазоны цены		0	3	30	150	500	3000	25000
		3	30	150	500	3000	25000	
0	0,002	0,00001	0,000005	0,000002	0,000001	0,000001	0,000001	0,000001
0,002	0,005	0,00002	0,00001	0,000005	0,000002	0,000001	0,000001	0,000001
0,005	0,01	0,00005	0,00002	0,00001	0,000005	0,000002	0,000001	0,000001
0,01	0,02	0,0001	0,00005	0,00002	0,00001	0,000005	0,000002	0,000001
0,02	0,05	0,0002	0,0001	0,00005	0,00002	0,00001	0,000005	0,000002
0,05	0,1	0,0005	0,0002	0,0001	0,00005	0,00002	0,00001	0,000005
0,1	0,2	0,001	0,0005	0,0002	0,0001	0,00005	0,00002	0,00001
0,2	0,5	0,002	0,001	0,0005	0,0002	0,0001	0,00005	0,00002
0,5	1	0,005	0,002	0,001	0,0005	0,0002	0,0001	0,00005
1	2	0,01	0,005	0,002	0,001	0,0005	0,0002	0,0001
2	5	0,02	0,01	0,005	0,002	0,001	0,0005	0,0002
5	10	0,05	0,02	0,01	0,005	0,002	0,001	0,0005
10	20	0,1	0,05	0,02	0,01	0,005	0,002	0,001
20	50	0,2	0,1	0,05	0,02	0,01	0,005	0,002
50	100	0,5	0,2	0,1	0,05	0,02	0,01	0,005
100	200	1	0,5	0,2	0,1	0,05	0,02	0,01
200	500	2	1	0,5	0,2	0,1	0,05	0,02
500	1000	5	2	1	0,5	0,2	0,1	0,05
1000	2000	10	5	2	1	0,5	0,2	0,1
2000	5000	20	10	5	2	1	0,5	0,2
5000	10000	50	20	10	5	2	1	0,5
10000	20000	100	50	20	10	5	2	1
20000	50000	200	100	50	20	10	5	2
50000	100000	500	200	100	50	20	10	5
100000		1000	500	200	100	50	20	10

Рис. 2: Правила определения расчетного шага цены (сайт московской биржи).

Таким образом, мы предлагаем следующий эмпирический путь подбора параметра ρ :

1. Подготавливаем и очищаем данные, проверяем их на соответствие модели Обижаевой–Ванга.
2. Оцениваем по данным регрессию

$$\frac{\Delta A_{k+1}}{\Delta t_{k+1}} - \frac{\Delta A_k}{\Delta t_k} = -B\Delta A_k + B(\lambda + \kappa)x_{t_k} - B\kappa x_{t_{k+1}} + (\lambda + \kappa) \left(\frac{x_{t_{k+1}}}{\Delta t_{k+1}} - \frac{x_{t_k}}{\Delta t_k} \right),$$

где

- ΔA_k изменение аска в следствие исполнения заявки размера x_k в момент времени t_k .
- Δt_k время между k и $k + 1$ заявками.

3. Если $\rho^2 \Delta t$ мало, то считаем, что $B \approx \rho$.

Если последнее условие не выполнено, то можно попытаться применить подход, изложенный в приложении В.

4 Данные

4.1 Источники и предобработка

Мы работали с ордерлогами ([спецификация](#)). Было написано несколько [программ](#), которые, в совокупности, распаршивали исходные записи в таблицу из четвёрок (время, аск до исполнения ордера, аск после исполнения ордера, глубина ордера). Следует обратить

	<u>Time</u>	<u>AskBefore</u>	<u>AskAfter</u>	<u>Volume</u>
0	1.0006099849997554	61.782	61.87	40000.0
1	2.0004541379967122	61.84	61.84	48000.0
2	2.0004635579971364	61.84	61.84	48000.0
3	2.000483832001919	61.842	61.842	13000.0
4	2.0004864069996984	61.842	61.847	87000.0
5	2.0004864069996984	61.847	61.847	7000.0
6	2.0005590279979515	61.792	61.845	10000.0
7	2.00059898699692	61.79	61.842	100000.0
8	2.000793077997514	61.835	61.835	11000.0
9	2.0008411289963988	61.815	61.815	11000.0
10	3.0002688890017453	61.822	61.822	1000.0
11	3.000301476000459	61.83	61.83	16000.0
12	3.0003054539993173	61.83	61.83	1000.0

Рис. 3: Данные после первого этапа парсинга

внимание на то, что заявки, поглощающие несколько уровней, представляются в данных в виде последовательности заявок, поэтому перед началом обработки их следует объединить: объем ордера есть сумма объемов, аск до исполнения — аск до исполнения первого ордера, аск после исполнения — аск после исполнения последнего ордера. Фрагмент таблицы, на котором представлен фрагмент обработанных данных и схематичное изображение изложенной выше операции, изображен на рисунке 3. Рассматривались данные за 03.03.2021 (середина недели, месяц максимально удаленный от праздников, год, удаленный от начала СВО и начала эпидемии COVID.)

4.2 Выбор инструмента и начальный анализ данных

В целом, известно, что российский рынок характеризуется низким уровнем ликвидности и низкой интенсивностью торгов. Для подбора параметров и статистических исследований нам нужно относительно большое количество данных, по этой причине для очень существенной части активов, торгуемых на московской бирже, исследование в духе нашего было бы невозможно: даже в категориях активов, считающихся ликвидными, встречается немало инструментов¹, по которым совершается порядка нескольких десятков сделок в день (и даже меньше). Поэтому мы решили рассмотреть две категории активов: самые ликвидные валютные пары и несколько наиболее ликвидных акций (мы исключили из рассмотрения акции ВТБ, поскольку их сильное дробление создаёт численные проблемы).

¹Даже среди валютных пар большая часть имеет очень низкую интенсивность торгов, например, CHF RUB_TOM, HKD RUB_TOM, JPY RUB_TOM, KZT RUB_TOM.

При этом, почти у всех активов подавляющее большинство сделок не поглощает ни одного уровня (те фактическая цена совершения сделки равна аску, см. таблицы 4.3 и 4.3).

4.3 Спайки

Данные характеризуются очень большим числом количеством резких и коротких скачков аска. Пересечение множеств сотни самых больших сделок и сотни сделок, сдвинувших аск сильнее всего, пусто. Таким образом, похоже, что ордеров, которые существенно двигают аск за счёт своего размера на рынке мало, то есть цена двигается, в основном, по фундаментальным причинам. На наш взгляд, такая структура данных может послужить основанием для того, чтобы усомниться в валидности модели Обижаевой–Ванга для российских данных, однако и не дает возможности с уверенностью сказать, что модель не применима.

Откуда же берутся эти скачки и что они из себя представляют? В стакане в каждый момент времени поддерживается тонкий баланс, любой маленький ордер, более выгодный, чем лучшая цена, будет почти мгновенно поглощён рынком. Конечно, если возникает необходимость в продаже или покупке небольшого количества актива, этим разумно воспользоваться.

Пример 1. Пусть аск равен 10, а бид — 9. Если мы хотим продать небольшое количество актива, то можно, например, разместить ордер на продажу актива по цене 9.1, тогда пока ордер не будет исполнен, аск станет равным 9.1, однако, скорее всего, лот очень быстро выкупят, поскольку он намного лучше аска и даже мида. Таким образом, мы продадим актив по цене 9.1 вместо 9, расплатившись за это довольно несущественным риском.

Мы проанализировали несколько конкретных спайков в ручную и оказалось, что происходит именно то, что описано в примере. Ясно, что эти скачки, в целом, не характеризуют динамику рискованного актива, поэтому целесообразно исключить их из исследуемого датасета.

Инструмент	Число сделок	Не повлияли на аск
USD000UTSTOM	28361	95%
USD000000TOD	9624	92%
EUR_RUB_TOM	4021	79%
EUR_RUB_TOD	2535	57%
USD000TODTOM	546	55%
EURUSD000TOM	409	93%
GBPRUB_TOM	220	60%
EUR000TODTOM	168	89%

Таблица 1: Анализ сделок по наиболее торгуемым валютным парам (03.03.2021).

4.4 Время между сделками

При изучении данных мы обнаружили любопытную закономерность: между сделками либо больше секунды, либо миллисекунды, причем это справедливо для всех активов (См. 4, 5, 6 и С: здесь всюду сверху изображено распределение всего набора данных, а снизу — срез). К тому же распределение времени между сделками очень похоже для всех активов и напоминает экспоненциальное.

Этот факт, вместе с особенностями данных, описанных в разделе 4.2, даёт основание объединить близкие сделки. Рассмотрение одного крупного ордера, вместо совокупности

Инструмент	Число сделок	Не повлияли на аск
SBER	41647	96%
GAZP	21566	86%
VTBR	17100	99%
YNDX	14110	68%
MGNT	10929	64%
LKOH	9759	75%
ROSN	8648	74%
PLZL	7121	56%
SNGSP	6032	60%
MTLR	5985	46%

Таблица 2: Анализ сделок по наиболее торгуемым акциям (03.03.2021).

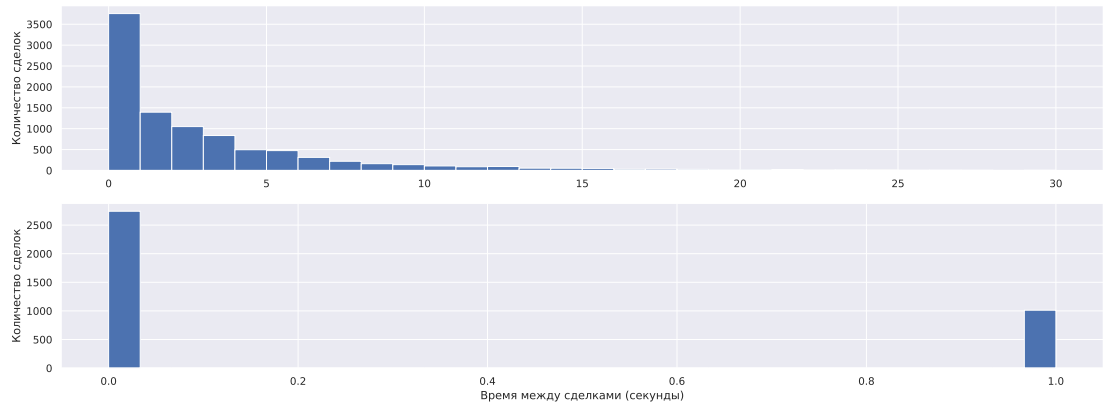


Рис. 4: Распределение времени между сделками для USD000000TOD

мелких и близких ордеров, на первый взгляд, не оказывает критически разрушительно-го влияния на способность данных репрезентовать экономику процесса торговли. К тому же, в этом случае данные гораздо лучше соответствуют предположениям модели и возник-нет существенно меньше численных проблем. Поэтому мы решили рассмотреть датасет, где сделки, которые ближе друг к другу, чем 1 миллисекунда, собраны в одну.

5 Результаты регрессий

В терминах нашего датасета (см. вид данных на 3), регрессия на B выглядят следующим образом:

$$\begin{aligned}
 & \frac{\text{AskAfter}(k+1) - \text{AskBefore}(k+1)}{\text{Time}(k+2) - \text{Time}(k+1)} - \frac{\text{AskAfter}(k) - \text{AskBefore}(k)}{\text{Time}(k+1) - \text{Time}(k)} = \\
 & = -B(\text{AskAfter}(k) - \text{AskBefore}(k)) + B(\lambda + \kappa)\text{Volume}(k) - B\kappa\text{Volume}(k+1) + \\
 & + (\lambda + \kappa) \left(\frac{\text{Volume}(k+1)}{\text{Time}(k+2) - \text{Time}(k+1)} - \frac{\text{Volume}(k)}{\text{Time}(k+1) - \text{Time}(k)} \right).
 \end{aligned}$$

Для B^* всё аналогично, но меняется методология расчёта аска. Теперь это не лучшая цена покупки одной единицы актива, а лучшая цена покупки миллиона единиц актива.

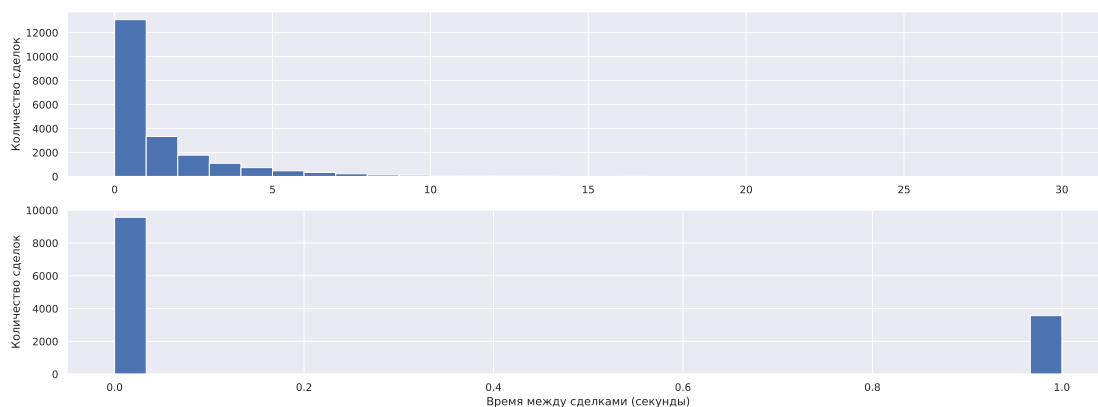


Рис. 5: Распределение времени между сделками для GAZP

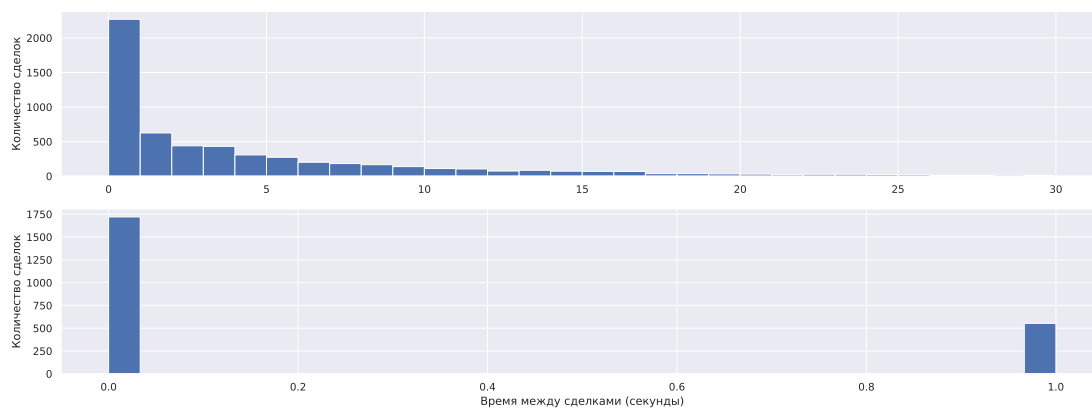


Рис. 6: Распределение времени между сделками для SNGSP

Инструмент	Число сделок	Объем	Объем (рубли)	B	B^*
USD000UTSTOM	$2.83 \cdot 10^4$	$2.94 \cdot 10^9$	$2.15 \cdot 10^{11}$	0.4587 ± 0.0053	0.5993 ± 0.0065
USD000000TOD	$9.62 \cdot 10^3$	$5.75 \cdot 10^8$	$4.22 \cdot 10^{10}$	0.1989 ± 0.0054	0.1609 ± 0.004
EUR_RUB_TOM	$4.02 \cdot 10^3$	$2.21 \cdot 10^8$	$1.96 \cdot 10^{10}$	0.2327 ± 0.0089	0.1494 ± 0.0065
EUR_RUB_TOD	$2.53 \cdot 10^3$	$1.19 \cdot 10^8$	$1.06 \cdot 10^{10}$	0.1932 ± 0.0058	0.2267 ± 0.0105
CNYRUB_TOM	371	$5.43 \cdot 10^7$	$6.19 \cdot 10^8$	0.0359 ± 0.0075	0.0109 ± 0.0022
GBPRUB_TOM	220	$3.51 \cdot 10^6$	$3.62 \cdot 10^8$	0.0145 ± 0.0183	0.0023 ± 0.0004
CNY000000TOD	55	$2.68 \cdot 10^7$	$3.05 \cdot 10^8$	0.0562 ± 0.0122	0.1352 ± 0.0261
GBPRUB_TOD	38	$1.54 \cdot 10^6$	$1.58 \cdot 10^8$	-0.0612 ± 0.037	0.0817 ± 0.0368

Таблица 3: B и B^* , вычисленные для разных валютных пар в агрегированном датасете.

Как видно, для валют абсолютно чётко прослеживается связь между разными метриками ликвидности и B , что даёт основания считать вычисленный коэффициент валидной мерой ликвидности актива. Кроме того, во всех случаях B довольно мал по модулю, так что можно считать, что $B = \rho$. Этого достаточно, чтобы практически осуществить оптимальное исполнение в соответствии с моделью Обижаевой–Ванга. Последние две валютных пары существенно выбиваются из общей колеи. Однако в их случае выборки ничтожно малы, так что, вероятно, методика просто напросто "переобучилась".

Инструмент	Число сделок	Объем	Объем (рубли)	B	B^*
SBER	$4.16 \cdot 10^4$	$5.66 \cdot 10^7$	$1.58 \cdot 10^{10}$	0.7744 ± 0.0063	0.9337 ± 0.0072
GAZP	$2.15 \cdot 10^4$	$2.85 \cdot 10^7$	$6.38 \cdot 10^9$	0.8641 ± 0.0086	0.7051 ± 0.0082
YNDX	$1.41 \cdot 10^4$	$6.91 \cdot 10^5$	$3.50 \cdot 10^9$	0.773 ± 0.0095	0.435 ± 0.0072
MGNT	$1.09 \cdot 10^4$	$4.30 \cdot 10^5$	$2.18 \cdot 10^9$	0.7336 ± 0.0113	0.4186 ± 0.0095
LKOH	$9.75 \cdot 10^3$	$7.79 \cdot 10^5$	$4.43 \cdot 10^9$	0.4757 ± 0.0078	0.433 ± 0.009
ROSN	$8.64 \cdot 10^3$	$5.23 \cdot 10^6$	$2.78 \cdot 10^9$	0.3116 ± 0.0076	0.7418 ± 0.012
PLZL	$7.12 \cdot 10^3$	$2.06 \cdot 10^5$	$2.99 \cdot 10^9$	0.2234 ± 0.0056	0.4871 ± 0.0122
NGSP	$6.03 \cdot 10^3$	$1.79 \cdot 10^7$	$7.20 \cdot 10^8$	0.1842 ± 0.0084	0.3528 ± 0.0099

Таблица 4: B и B^* , вычисленные для разных акций в агрегированном датасете.

У акций также есть чёткая связь между разными метриками ликвидности и B , что даёт основания считать вычисленный коэффициент валидной мерой ликвидности актива. Кроме того, во всех случаях B довольно мал по модулю, так что можно считать, что $B = \rho$. Этого достаточно, чтобы практически осуществить оптимальное исполнение в соответствии с моделью Обижаевой–Ванга.

Таким образом, наша методология, на первый взгляд, является состоятельной: инструменты выстраиваются в порядке, согласованном с традиционными метриками ликвидности. Кроме того, большая часть активов обладает достаточно малым ρ , чтобы условия основной теоремы можно было бы считать выполненными.

Заключение

На наш взгляд, предложенная методика обладает очень важным для индустрии достоинством: она очень проста как теоретически, так и вычислительно. Более того, она настолько проста теоретически, что кажется невозможным, чтобы что-то пошло не так.

В первом приближении, она очень неплохо себя зарекомендовала, результаты оценки параметров согласуются как с метриками ликвидности, так и с экономической интуиции-

ей. Порядок параметров согласуется с теоретическими предположениями Обижаевой и Ванга.

К тому же, в данных было обнаружено несколько примечательных закономерностей. Во-первых, данных очень распространены спайки. Это вполне резонно, поскольку на российском рынке к бирже имеет доступ очень большое количество физических лиц, которые не располагают огромными средствами (по сравнению с институционалами) и нуждаются в проведении небольших сделок.

Во-вторых, создается ощущение, будто бы даже при исполнении большого ордера, институциональный игрок старается не сбивать больше одного ценового уровня, как будто торгуя лимитными ордерами с лимитом, равным аску.

В-третьих, на русском рынке довольно много активов с чрезвычайно низкой интенсивностью торгов. Их изучение, как будто, стоит производить средствами макроэкономики и теории игр, а не статистики и численных методов.

В-четвертых, наблюдается любопытная закономерность связанная со временем между сделками. К тому же, похоже, что это время распределено экспоненциально.

В данном случае обычная "виртуальная" методика бэк-тестирования категорически не подходит. Полученные в следствие её результаты не будут иметь никакого смысла, поскольку невозможно учесть одно из ключевых предположений модели Обижаевой–Ванга: большой ордер определенным образом изменяет характер восстановления стакана. Для полноценного тестирования необходим очень хорошо настроенный симулятор рынка. Его создание — это тема для отдельного исследования.

Список литературы

- [Alm+05] Robert Almgren и др. «Direct estimation of equity market impact». В: *Risk* 18.7 (2005), с. 58—62.
- [Gre05] Robin Greenwood. «Short-and long-term demand curves for stocks: theory and evidence on the dynamics of arbitrage». В: *Journal of Financial Economics* 75.3 (2005), с. 607—649.
- [OW13] Anna A Obizhaeva и Jiang Wang. «Optimal trading strategy and supply/demand dynamics». В: *Journal of Financial markets* 16.1 (2013), с. 1—32.
- [KO18] Albert S Kyle и Anna A Obizhaeva. «The market impact puzzle». В: *Anna A., The Market Impact Puzzle (February 4, 2018)* (2018).
- [Vel20] Raja Velu. *Algorithmic trading and quantitative strategies*. CRC Press, 2020.
- [Web23] Kevin T Webster. *Handbook of Price Impact Modeling*. CRC Press, 2023.

Приложение А Обоснование метода

Из определения модели имеем три уравнения:

$$A_{t_k} = V_{t_k} + \frac{s}{2} + \sum_{i=0}^{k-1} x_{t_i} \kappa e^{-\rho(t_k - t_i)} \quad (1)$$

$$V_{t_{k+1}} = V_{t_k} + \lambda x_{t_k} \rightarrow V_{t_{k+1}} - V_{t_k} = \lambda x_{t_k} \quad (2)$$

$$D_{t_k} = A_{t_k} - V_{t_k} - \frac{s}{2} \quad (3)$$

Следующее замечание является основополагающим в нашей методологии подбора параметра ρ . Здесь и далее $\Delta t_{k+1} := t_{k+1} - t_k$, $\Delta A_{k+1} := A_{k+1} - A_k$.

Лемма 4. В модели Обижаевой–Ванга:

$$\Delta A_k = D_{t_k}(e^{-\rho\Delta t_k} - 1) + x_{t_k}\kappa e^{-\rho\Delta t_k} + \lambda x_{t_k}.$$

Доказательство. Сперва покажем, что

$$\Delta D_k = D_{t_k}(e^{-\rho\Delta t_k} - 1) + x_{t_k}\kappa e^{-\rho\Delta t_k}.$$

Пользуясь (1) и (3), получаем

$$\begin{aligned} D_{t_k} &= \sum_{i=0}^{k-1} x_{t_i}\kappa e^{-\rho(t_k-t_i)} \\ \Delta D_k &= \sum_{i=0}^k x_{t_i}\kappa e^{-\rho(t_{k+1}-t_i)} - \sum_{i=0}^{k-1} x_{t_i}\kappa e^{-\rho(t_k-t_i)} = \sum_{i=0}^{k-1} x_{t_i}\kappa(e^{-\rho(t_{k+1}-t_i)} - e^{-\rho(t_k-t_i)}) + x_{t_k}\kappa e^{-\rho(t_{k+1}-t_k)} = \\ &= \sum_{i=0}^{k-1} x_{t_i}\kappa e^{-\rho(t_k-t_i)}(e^{-\rho(t_{k+1}-t_k)} - 1) + x_{t_k}\kappa e^{-\rho(t_{k+1}-t_k)} = D_{t_k}(e^{-\rho\Delta t_k} - 1) + x_{t_k}\kappa e^{-\rho\Delta t_k}. \end{aligned}$$

Теперь покажем, что

$$\Delta A_k = D_{t_k}(e^{-\rho\Delta t_k} - 1) + x_{t_k}\kappa e^{-\rho\Delta t_k} + \lambda x_{t_k}.$$

Из (2) и (3) имеем

$$\Delta D_k = D_{t_{k+1}} - D_{t_k} = A_{t_{k+1}} + V_{t_{k+1}} - A_{t_k} - V_{t_k} = \Delta A_k - \Delta V_k.$$

Отсюда имеем, что

$$\Delta A_k = \Delta D_k + \Delta V_k.$$

Подставив сюда (5), получаем утверждение леммы. \square

Мы считаем, что при всей своей простоте оно очень ценно, поскольку даёт путь к выводу регрессионного уравнения.

Теорема 5. Интерполируя экспоненту в выражении

$$\Delta D_k = D_{t_k}(e^{-\rho\Delta t_k} - 1) + x_{t_k}\kappa e^{-\rho\Delta t_k},$$

функцией вида $e^{-\rho\Delta t_k} = 1 - B\rho\Delta t_k + E(\rho\Delta t_k)$, где $E(\rho\Delta t_k)$ — ошибка интерполяции, можно получить регрессионное уравнение вида:

$$\frac{\Delta A_{k+1}}{\Delta t_{k+1}} - \frac{\Delta A_k}{\Delta t_k} = -B\Delta A_k + B(\lambda + \kappa)x_{t_k} - B\kappa x_{t_{k+1}} + (\lambda + \kappa)\left(\frac{x_{t_{k+1}}}{\Delta t_{k+1}} - \frac{x_{t_k}}{\Delta t_k}\right) + E(\rho\Delta t_{k+1}) - E(\rho\Delta t_k).$$

Доказательство. Пусть $f(\rho\Delta t_k)$ — некоторая функция, приближающая экспоненту с ошибкой $(\rho\Delta t_k)$. Тогда, подставив эту функцию в уравнение (4), получаем

$$\frac{\Delta A_k}{\Delta t_k} = D_{t_k}\left(\frac{f(\rho\Delta t_k) - 1}{\Delta t_k}\right) + x_{t_k}\kappa\frac{f(\rho\Delta t_k)}{\Delta t_k} + \lambda\frac{x_{t_k}}{\Delta t_k}.$$

Потребуем, чтобы при рассмотрении разности $\frac{\Delta A_{k+1}}{\Delta t_{k+1}} - \frac{\Delta A_k}{\Delta t_k}$ выполнялось условие $\frac{f(\rho\Delta t_{k+1}) - 1}{\Delta t_{k+1}} = \frac{f(\rho\Delta t_k) - 1}{\Delta t_k}$. В этом случае, рассматривая разность делённых на время асков, можно исклю-

читать из уравнения ненаблюдаемый временной ряд D_{t_k} :

$$\begin{aligned} R &:= (x_{t_{k+1}}\kappa + D_{t_{k+1}}) \frac{E(\rho\Delta t_{k+1})}{\Delta t_{k+1}} - (x_{t_k}\kappa + D_{t_k}) \frac{E(\rho\Delta t_k)}{\Delta t_k} \\ \frac{\Delta A_{k+1}}{\Delta t_{k+1}} - \frac{\Delta A_k}{\Delta t_k} &= -BD_{t_{k+1}} + x_{t_{k+1}}\kappa \left(\frac{1}{\Delta t_{k+1}} - \rho \right) + \lambda \frac{x_{t_{k+1}}}{\Delta t_{k+1}} + BD_{t_k} - x_{t_k}\kappa \left(\frac{1}{\Delta t_k} - \rho \right) - \lambda \frac{x_{t_k}}{\Delta t_k} + R = \\ &= -B(\Delta A_k - \Delta V_k) + (\lambda + \kappa) \left(\frac{x_{t_{k+1}}}{\Delta t_{k+1}} - \frac{x_{t_k}}{\Delta t_k} \right) - B\kappa(x_{t_{k+1}} - x_{t_k}) + R = \\ &= -B\Delta A_k + B(\lambda + \kappa)x_{t_k} - B\kappa x_{t_{k+1}} + (\lambda + \kappa) \left(\frac{x_{t_{k+1}}}{\Delta t_{k+1}} - \frac{x_{t_k}}{\Delta t_k} \right) + R. \end{aligned}$$

□

Помимо всего прочего, в доказательстве показано, что такой подход к выводу регрессионного уравнения не работает ни для какого более широкого класса непрерывных или монотонных функций, чем двучлены вида $1 - B\rho\Delta t_k$, поскольку единственной непрерывной или монотонной функцией одной переменной, обладающей свойством однородности первой степени, необходимым для осуществления рассуждения выше, является функция $g(\rho\Delta t_k) = f(\rho\Delta t_k) - 1 = -B\rho\Delta t_k$.

Впрочем, это не исключает возможности того, что существует иной путь вывода регрессионного уравнения, позволяющий рассмотреть более точную интерполяцию. Это интересный вопрос для отдельного исследования.

Теорема 6. В регрессии

$$\frac{\Delta A_{k+1}}{\Delta t_{k+1}} - \frac{\Delta A_k}{\Delta t_k} = -B\Delta A_k + B(\lambda + \kappa)x_{t_k} - B\kappa x_{t_{k+1}} + (\lambda + \kappa) \left(\frac{x_{t_{k+1}}}{\Delta t_{k+1}} - \frac{x_{t_k}}{\Delta t_k} \right),$$

где x_k и A_k — глубина ордера и аск в момент времени t_k , соответственно, $\rho = B + O(\rho^2\Delta t)$.

Доказательство. Разложим экспоненту в ряд Тейлора:

$$e^{-\rho\Delta t_k} = 1 - \rho\Delta t_k + (\rho\Delta t_k)^2 \sum_{i=0}^{\infty} \frac{(\rho\Delta t_k)^i}{(i+2)!},$$

тогда из 5, получим:

$$\begin{aligned} R &:= (x_{t_{k+1}}\kappa + D_{t_{k+1}})\rho^2\Delta t_{k+1} \sum_{i=0}^{\infty} \frac{(\rho\Delta t_{k+1})^i}{(i+2)!} - (x_{t_k}\kappa + D_{t_k})\rho^2\Delta t_k \sum_{i=0}^{\infty} \frac{(\rho\Delta t_k)^i}{(i+2)!} \\ \frac{\Delta A_{k+1}}{\Delta t_{k+1}} - \frac{\Delta A_k}{\Delta t_k} &= -\rho\Delta A_k + \rho(\lambda + \kappa)x_{t_k} - \rho\kappa x_{t_{k+1}} + (\lambda + \kappa) \left(\frac{x_{t_{k+1}}}{\Delta t_{k+1}} - \frac{x_{t_k}}{\Delta t_k} \right) + R. \end{aligned}$$

□

Приложение В Что делать, если ρ получается большим?

Теорема 6 даёт указание к действию, когда $\rho^2\Delta t$ мал. Но что делать, если это условие систематически нарушается, например, актив настолько ликвиден, что ρ существенно превосходит единицу?

Теорема 7. Если считать, что при большом $\rho \Delta t$ регрессия решает задачу

$$\min_{B \in \mathbb{R}} \max_{x \in [0, t_0]} |e^{-\rho x} - 1 + Bx|,$$

где t_0 некоторое "среднее" время между двумя соседними ордерами, то B и ρ связаны уравнением:

$$2 - \frac{B}{\rho} \left(1 - \ln \frac{B}{\rho} \right) = e^{-\rho t_0} + B t_0.$$

Доказательство. Очевидно, разность под модулем обращается в ноль в двух точках (0 и x_0), если только прямая не является касательной к экспоненте. При этом, функция выпукла в промежутке $[0, x_0]$, а значит имеет там единственную точку экстремума. Из свойств функции ясно, что B является решением задачи в том и только в том случае, когда:

$$-extr\{e^{-\rho x} - 1 + Bx\}_{x \in [0, x_0]} = e^{-\rho t_0} - 1 + B t_0.$$

Легко найти точку экстремума x_* :

$$\frac{d}{dx} \Big|_{x=x_*} (e^{-\rho x} - 1 + Bx) = 0 \rightarrow -\rho e^{-\rho x_*} + B = 0 \rightarrow x_* = -\frac{1}{\rho} \ln \frac{B}{\rho}.$$

Отсюда получаем уравнение, связывающее ρ и B :

$$2 - \frac{B}{\rho} \left(1 - \ln \frac{B}{\rho} \right) = e^{-\rho t_0} + B t_0.$$

□

Замечание. Сделаем замены $\rho x = B, t_0 B = y$, тогда уравнение примет вид:

$$2 - x (1 - \ln x) = e^{-\frac{y}{x}} + y.$$

После замен $\rho x = B, t_0 \rho = y$ уравнение примет вид:

$$2 - x (1 - \ln x) = e^{-y} + xy.$$

Такие представления уравнений могут быть использованы для исследования связи ρ и B . Например, в случае когда B велико и, как следствие, не выполнено условие теоремы 6, в некоторых случаях благодаря предположениям на y мы можем получить оценку x . Если B/x велико, то можно утверждать, что ρ велико по модулю. В этом случае, стратегия оптимального исполнения вырождается в TWAP.

Приложение С Время между сделками

Здесь, на рисунках 7–21, представлены распределения времён между сделками для всех исследуемых активов.

Приложение D Результаты регрессий на сырых данных

В данном случае нет формальных оснований полагать, что полученные числа (см. таблицы D и D) имеют какое бы то ни было отношение к модели Обижаевой–Ванга. Однако, прослеживается некоторая связь между ликвидностью актива и величиной ρ , так что есть вероятность того, что они всё же являются осмысленной мерой ликвидности, связанной с моделью. Возможно, развитие идей, высказанных в разделе B, помогло бы установить связь между вычисленными в регрессии коэффициентами B и ρ .

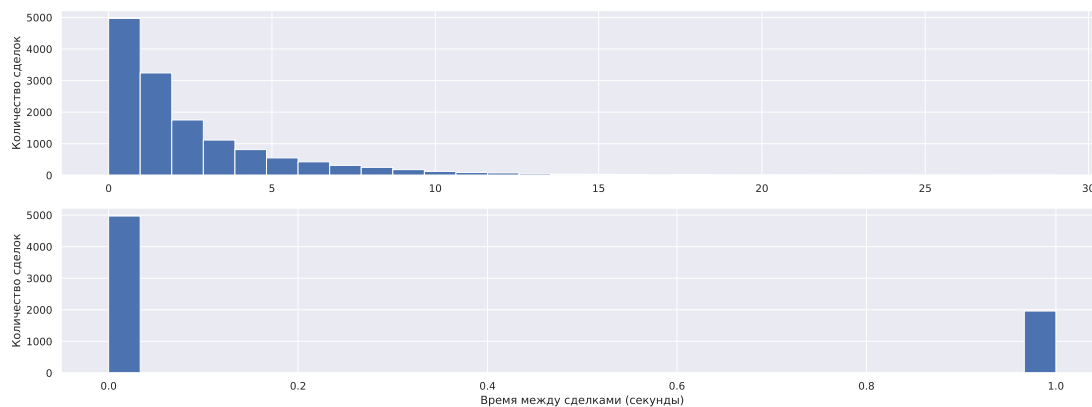


Рис. 7: Распределение времени между сделками для YNDX

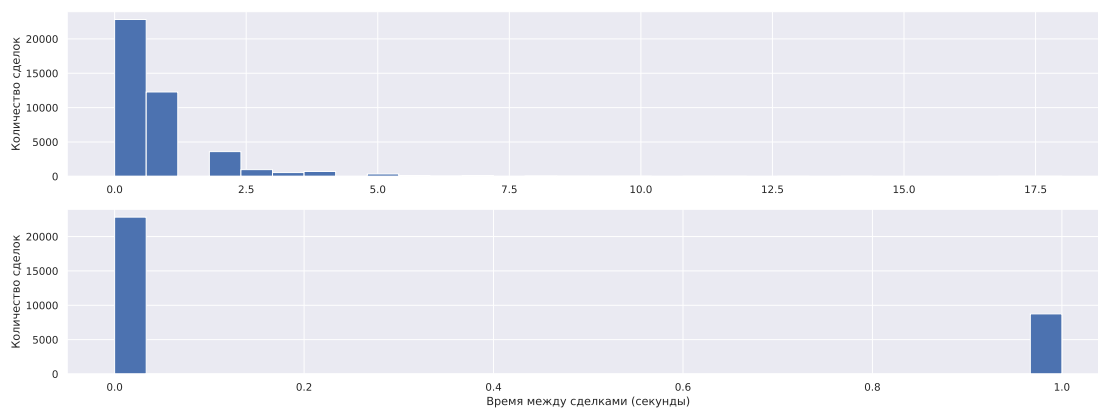


Рис. 8: Распределение времени между сделками для SBER

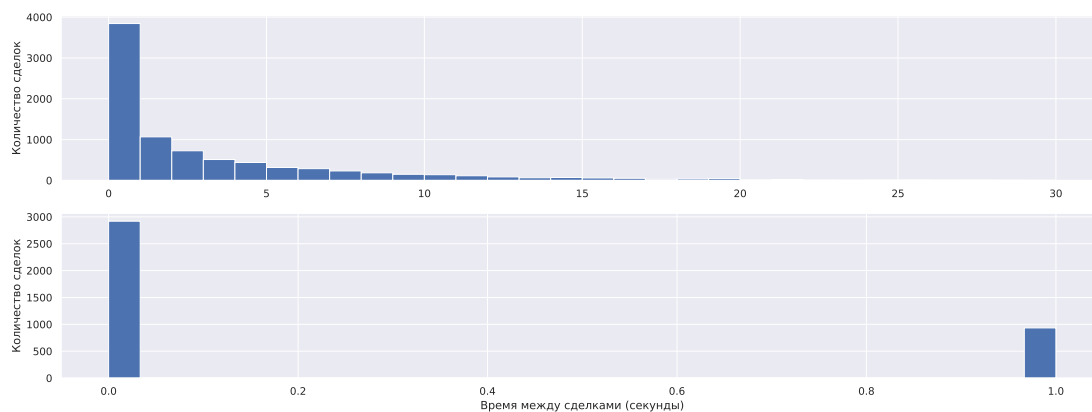


Рис. 9: Распределение времени между сделками для ROSN

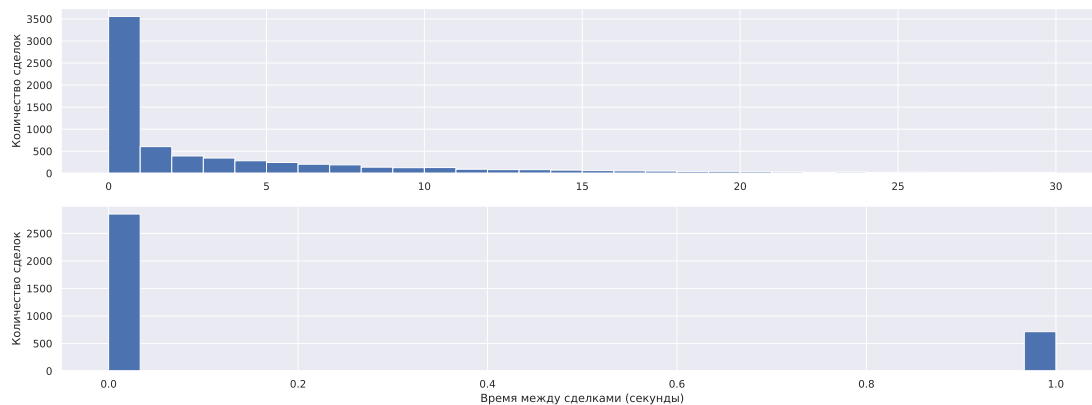


Рис. 10: Распределение времени между сделками для PLZL

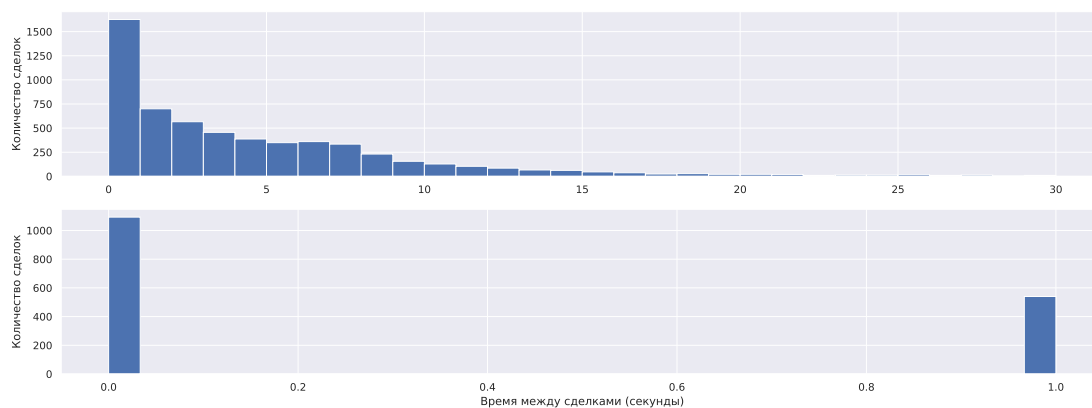


Рис. 11: Распределение времени между сделками для MTLR

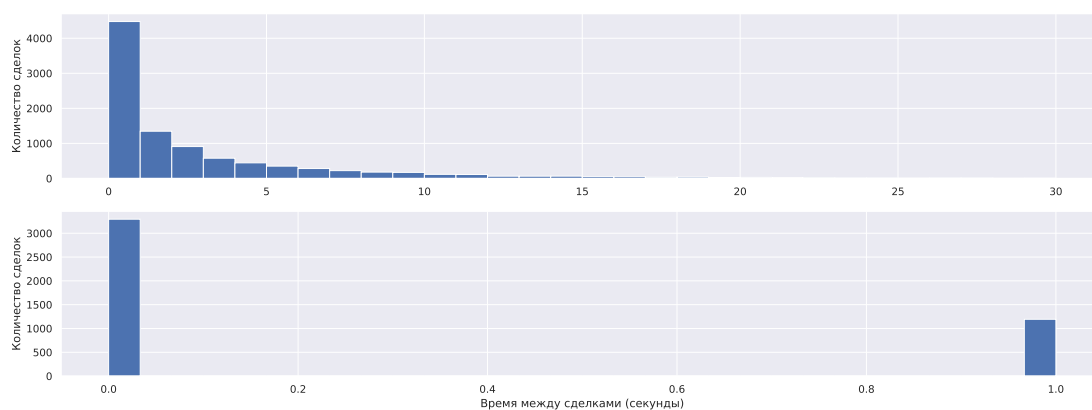


Рис. 12: Распределение времени между сделками для LKON

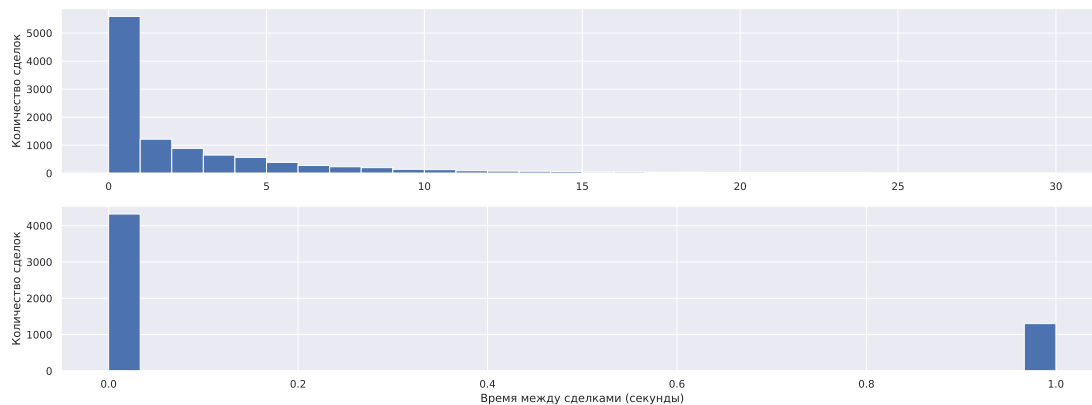


Рис. 13: Распределение времени между сделками для MGNT

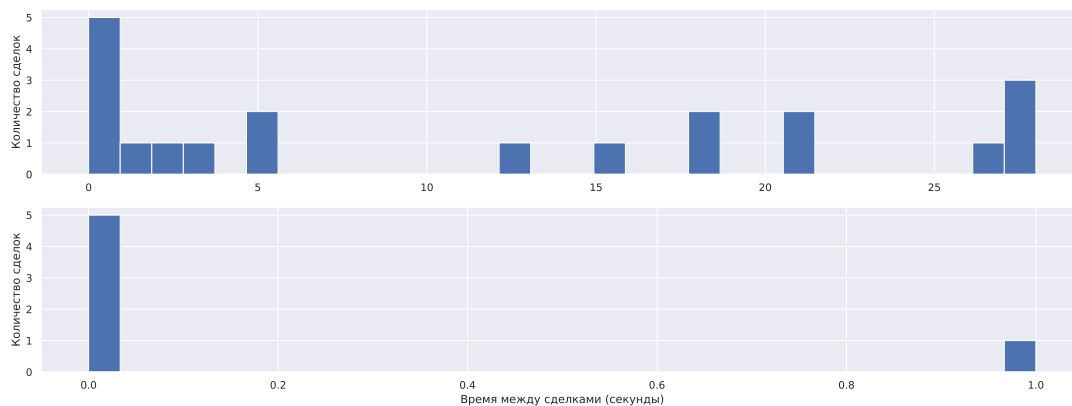


Рис. 14: Распределение времени между сделками для CNY000000TOD

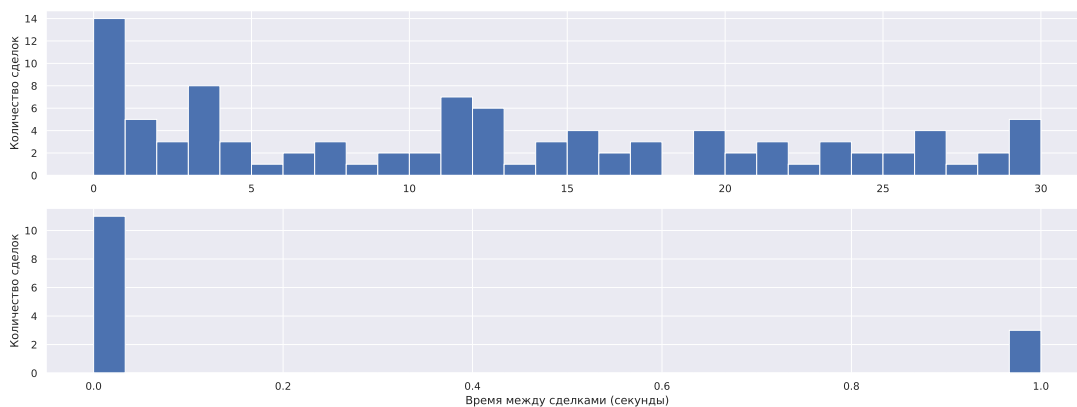


Рис. 15: Распределение времени между сделками для CNYRUB_TOM

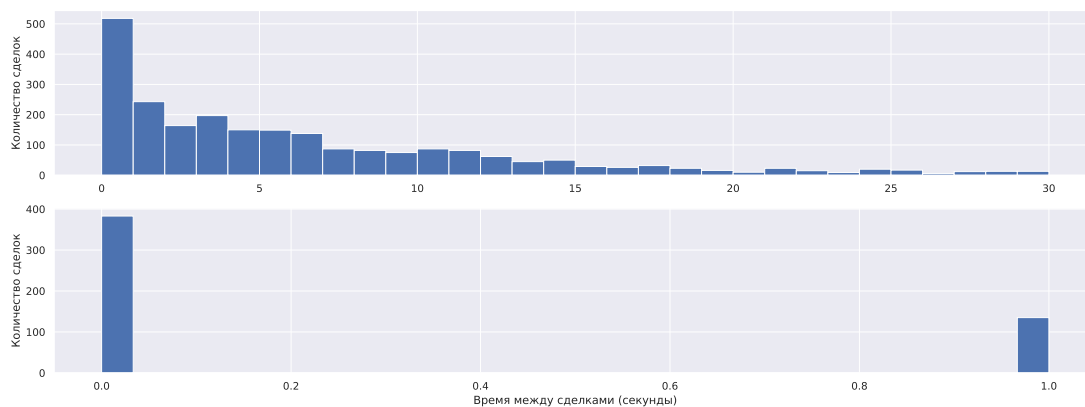


Рис. 16: Распределение времени между сделками для EUR_RUB_TOD

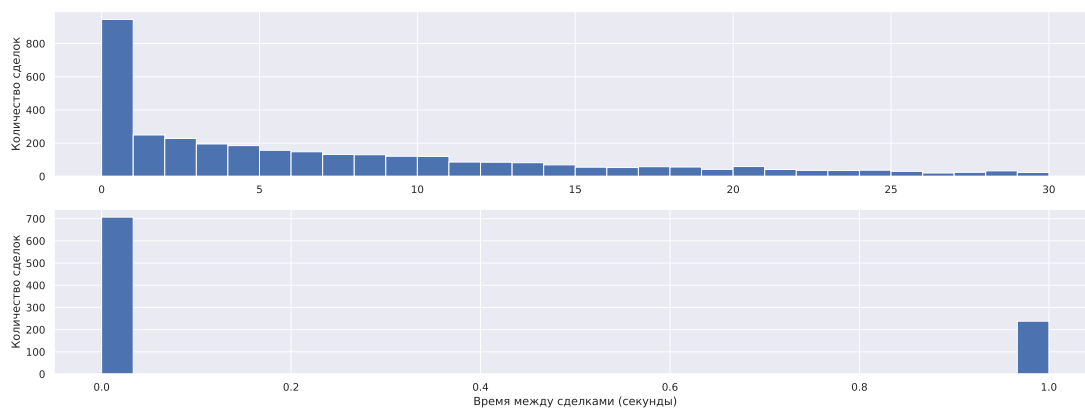


Рис. 17: Распределение времени между сделками для EUR_RUB_TOM

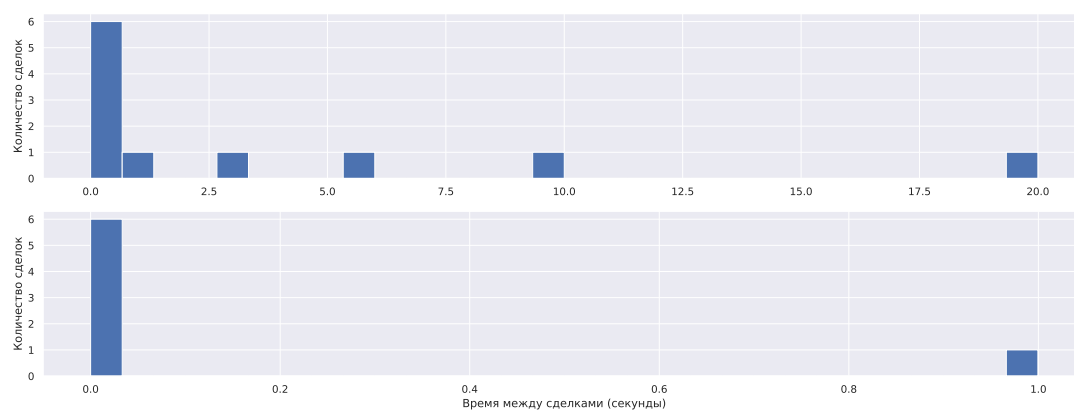


Рис. 18: Распределение времени между сделками для GBPRUB_TOD

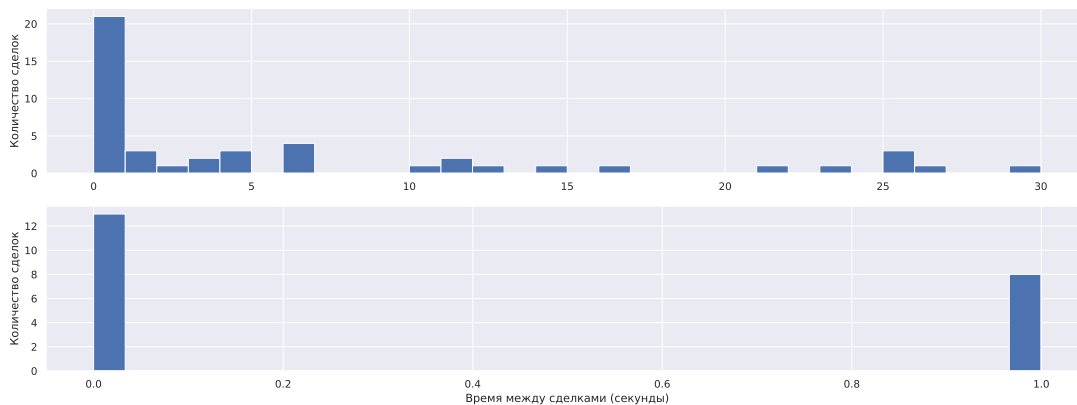


Рис. 19: Распределение времени между сделками для GBPRUB_TOM

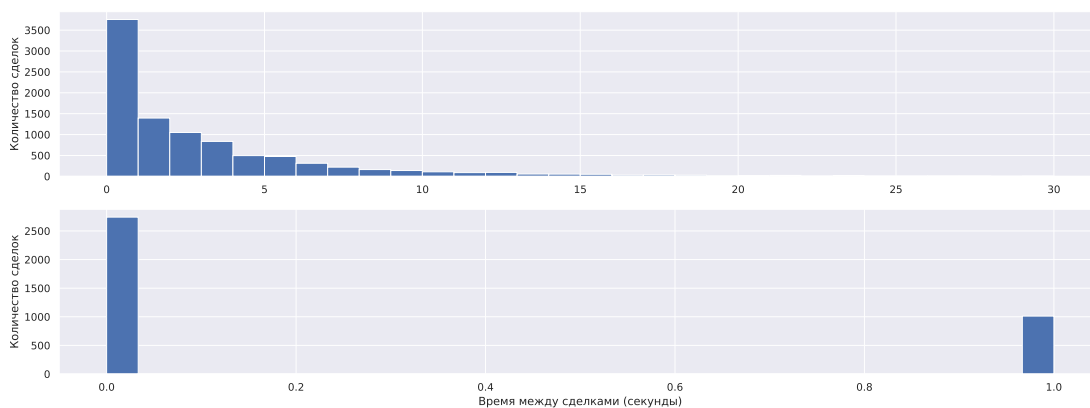


Рис. 20: Распределение времени между сделками для USD000000TOD

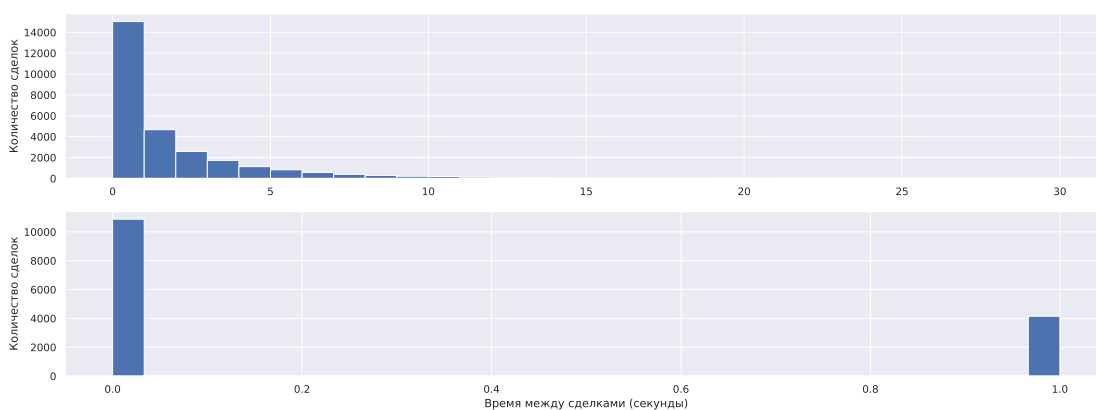


Рис. 21: Распределение времени между сделками для USD000UTSTOM

Инструмент	Общее число сделок	ρ	ρ^*
USD000UTSTOM	41963	63550***	18345***
USD000000TOD	13391	69906***	14649***
EUR_RUB_TOM	13383	62892***	2483***
EUR_RUB_TOD	4134	47462***	1675**
USD000TODTOM	1343	19322***	23534***
EURUSD000TOM	915	9673**	4417*
EUR000TODTOM	265	6446	3750
GBPRUB_TOM	234	0.0053	-0.0132
CNYRUB_TOM	167	11214	1193

Таблица 5: B и B^* , вычисленные для разных валютных пар на сырых данных

Инструмент	Общее число сделок	B	B^*
SBER	41647	43257	357819
GAZP	21566	31240***	298196***
YNDX	14110	24715***	65218***
MGNT	10929	19207***	181582***
LKOH	9759	307474***	151761***
ROSN	8648	65814***	92876***
PLZL	7121	11072***	267550***
SNGSP	6032	8652***	137911***
MTLR	5985	5031***	59414***

Таблица 6: B и B^* , вычисленные для разных акций на сырых данных